



Introducción

Este bloque presenta las **técnicas básicas** de adquisición de imágenes utilizadas para el diagnóstico médico.

Abarca la descripción de los **fundamentos físicos** de cada técnica de adquisición y los **fundamentos tecnológicos** implicados en la producción de las propias imágenes.

Objetivos

Repasar los **principios físicos** en los que se basan los distintos métodos de obtención de imágenes en el diagnóstico médico.

Describir la **tecnología** asociada a las diferentes técnicas de obtención de imágenes.

Describir los **fundamentos fisiológicos** que permiten realizar estudios funcionales mediante radiofármacos en Medicina Nuclear.

Introducir los **métodos matemáticos** de reconstrucción de imágenes de cortes o imágenes 3D, así como los métodos básicos de visualización 2D y 3D.

Plan docente

Introducción

Radiología plana

Tomografía computarizada por rayos X

Medicina Nuclear

Resonancia Magnética Nuclear

Ultrasonidos

Diagnóstico por la imagen [SIM – Máster IB]

Joan Vila Francés

Índice

Modalidades de diagnóstico por la imagen.

Fundamentos físicos básicos de la obtención de imágenes.

Historia del diagnóstico por imagen.

Sistemas de visualización y almacenamiento de imágenes médicas: PACS (*Picture archiving and communication system*).



Modalidades

Técnicas basadas en *radiaciones ionizantes*:

Rayos X (RX)

Tomografía Computarizada (TC)

Medicina Nuclear (MN)

Técnicas no ionizantes:

Resonancia Magnética Nuclear (RMN)

Ultrasonidos (US)

Fundamentos físicos: Rayos X

Los **rayos X** (RX) son una forma de radiación electromagnética, de una frecuencia muy superior a la luz visible.

Un tubo de RX lanza un haz de RX a través de un cuerpo humano.

Al otro lado del cuerpo, un receptor sensible a los RX recoge la radiación transmitida.

Dependiendo de las diferencias en la absorción de los RX, la cantidad de radiación que atraviesa cada tejido varía formando una imagen en el receptor.

Diagnóstico por la imagen [SIM – Máster IB]

Joan Vila Francés

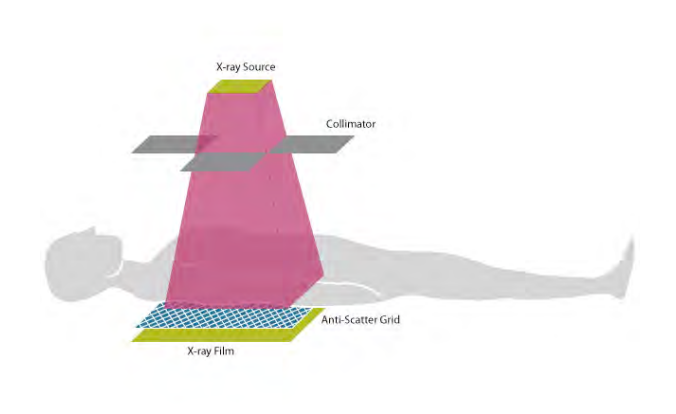
Fundamentos físicos: Medicina Nuclear

Se introduce una sustancia radioactiva (*radiofármaco*) en el paciente.

El radiofármaco se fija en un órgano concreto o unas células específicas del paciente, desde donde emite *rayos gamma*.

Los rayos gamma son visualizados con una cámara especial (*cámara gamma*).

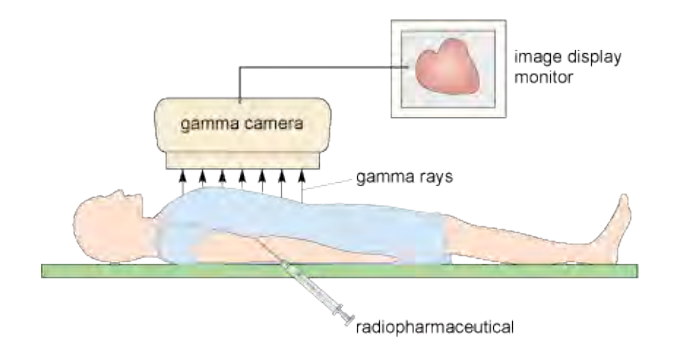
Fundamentos físicos: Rayos X



Diagnóstico por la imagen [SIM – Máster IB]

Joan Vila Francés

Fundamentos físicos: Medicina Nuclear



Fundamentos físicos: Medicina Nuclear

Las imágenes de medicina nuclear dan información **funcional** del paciente, en lugar de información **anatómica**.

Los radiofármacos son tan precisos que permiten observar el funcionamiento de los procesos biológicos a nivel molecular o celular.

Por eso a esta técnica también se la conoce con el nombre de *imagen molecular*.

Por contra, la resolución espacial de la imagen es *muy pobre* en comparación con otras modalidades.

Diagnóstico por la imagen [SIM - Máster IB]

Joan Vila Francés

Fundamentos físicos: Tomografía computarizada

La tomografía computarizada es una técnica asistida por computador que permite generar una imagen de una sección o plano cualquiera del sujeto.

Se basa en tomar múltiples imágenes del sujeto a distintos ángulos, moviendo mecár camente la fuente de radiación y/o el recent

Las imágenes se procesan digital te para obtener un corte o sección del sujeto.

Fundamentos físicos: imagen planar

Los métodos de rayos X y de medicina nuclear estándar generan imágenes **planas**: proyección en dos dimensiones de un objeto tridimensional.



las distintas estructuras internas se superponen en la imagen

Diagnóstico por la imagen [SIM – Máster IB]

Joan Vila Francés

Fundamentos físicos: Tomografía computarizada

Modalidades:

Tomografía por rayos X (TAC, tomografía axial computarizada)

Tomografía computarizada por emisión de fotones individuales (SPECT, single photon emission computed tomography)

Tomografía por emisión de positrones (PET, positron emission tomography)

Fundamentos físicos: TAC

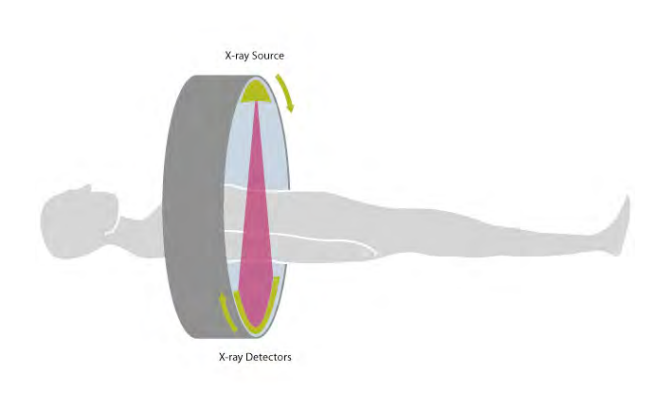


Diagrama de funcionamiento de un TAC

Diagnóstico por la imagen [SIM – Máster IB]

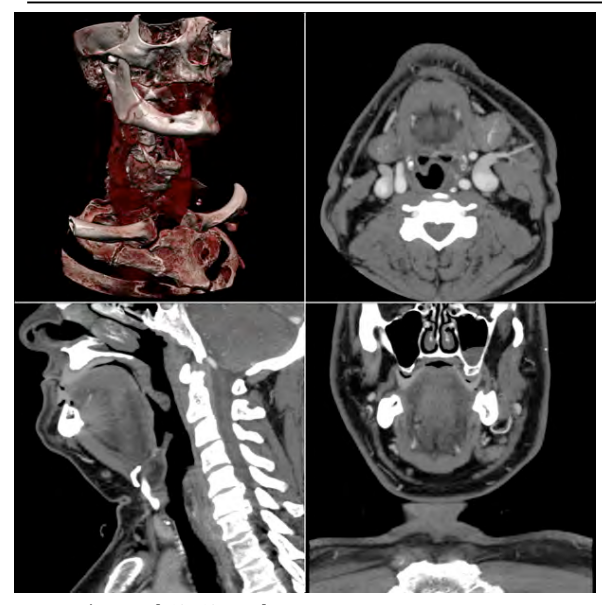
Joan Vila Francés

Fundamentos físicos: SPECT





Fundamentos físicos: TAC

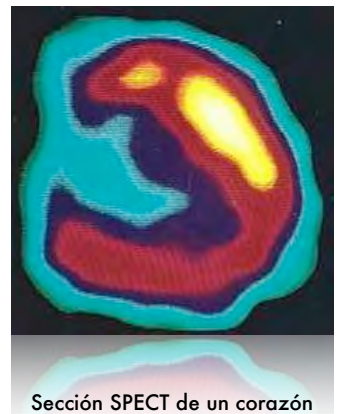


Imágenes obtenidas con TAC. En sentido horario desde arribaizquierda: renderizado volumétrico, corte axial, corte coronal, corte sagital

Diagnóstico por la imagen [SIM – Máster IB]

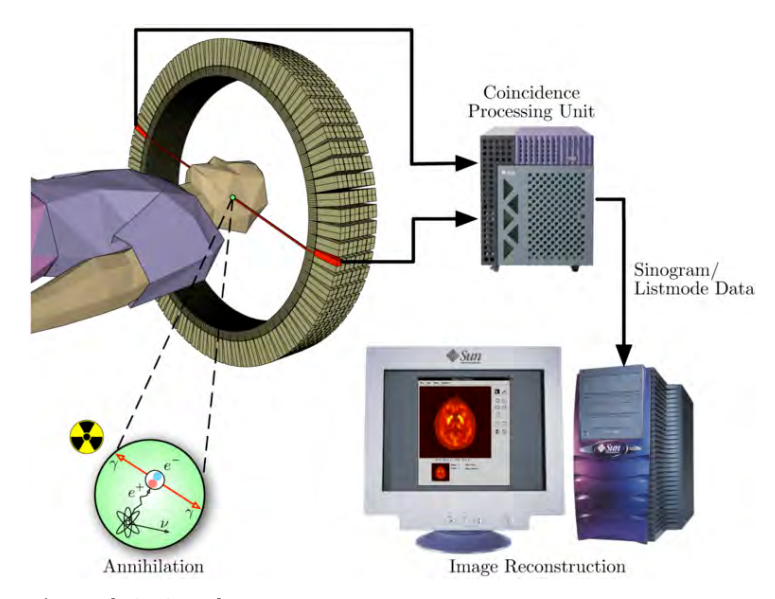
Joan Vila Francés

Fundamentos físicos: SPECT



Source=http://en.wikibooks.org/wiki/Image:SPECT-Heart.jpg

Fundamentos físicos: PET



Diagnóstico por la imagen [SIM – Máster IB]

Joan Vila Francés

Fundamentos físicos: Resonancia magnética nuclear

La RMN utiliza el magnetismo para producir imágenes detalladas de sección del cuerpo en cualquier plano.

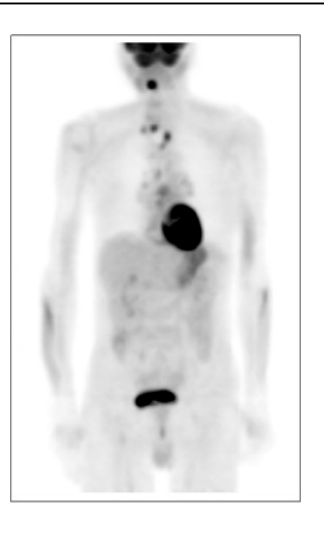
Todos los tejidos humanos contienen átomos de hidrógeno en distintas composiciones y concentraciones. Estos átomos de H son afectados por un campo magnético.

Se aplica un potente campo magnético que alinea los átomos de H en paralelo al campo.

Se aplica una señal de RF que excita los átomos y los hace resonar.

Al pararse la señal de RF, los átomos se des-excitan emitiendo una señal de RF característica.

Fundamentos físicos: PET



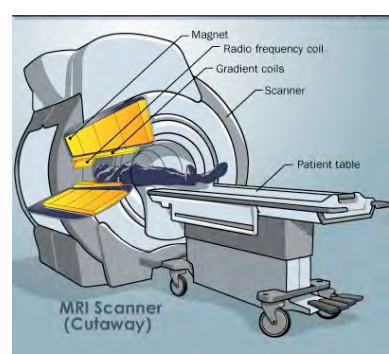
scan PET de un paciente de 70 años, fumador

Diagnóstico por la imagen [SIM – Máster IB]

Joan Vila Francés

Fundamentos físicos: Resonancia magnética nuclear





Componentes de un sistema de RMN

Imagen del tórax generada por RMN

Diagnóstico por la imagen [SIM – Máster IB]

Joan Vila Francés

Diagnóstico por la imagen [SIM – Máster IB]

Joan Vila Francés

Fundamentos físicos: Ultrasonidos

Las ondas sonoras de alta frecuencia (~10MHz) son reflejadas de distinta manera por cada tipo de tejido del cuerpo humano.

Al igual que el sonar, un haz de ultrasonidos es enviado al cuerpo, y su reflejo (eco) es medido, dando información de la profundidad de cada cambio de tejido.

La información se adquiere a través de cortes en forma de abanico (2D) o mediante un barrido en 3D.

Diagnóstico por la imagen [SIM - Máster IB]

Ioan Vila Francés

Joan Vila Francés

Fundamentos físicos: Ultrasonidos





imágenes de ultrasonidos 3D

Fundamentos físicos: Ultrasonidos



imágenes de ultrasonidos 2D

Diagnóstico por la imagen [SIM - Máster IB]

Fundamentos físicos básicos

¿Qué se pretende capturar en la imagen?

La interacción de las distintas formas de energía con los tejidos biológicos da información sobre las propiedades físicas de las estructuras biológicas.

Se buscan las *diferencias* en las propiedades físicas de unos tejidos respecto de otros, y en especial para un mismo tejido, diferenciar un tejido normal de uno patológico.

Estas diferencias pueden ser anatómicas (RX, RMN, US) o funcionales (MN).



Los inicios de la obtención de imágenes

El 8 de noviembre de 1895, cuando Röentgen se encontraba experimentando el poder de penetración de los rayos catódicos, observó que una placa de cartón cubierta de cristales de platino-cianuro de bario, emitía una fluorescencia.

El 28 de diciembre de 1895 entregó el trabajo "Sobre una nueva clase de rayos. Comunicación preliminar", (Vorläufigen Mitteilung über Eine neue Art von Strahlen, Verlag und Druck der Stahel'schen K. Hof- und Kunsthandlung Würzburg, 1895)

Los inicios de la obtención de imágenes



Wilhelm Conrad Röentgen

Profesor de Física en la Universidad de Würzburg

Diagnóstico por la imagen [SIM – Máster IB]

Joan Vila Francés

Los inicios de la obtención de imágenes

primera imagen de rayos X

mano de la Sra. Röentgen 22/12/1895



Diagnóstico por la imagen [SIM – Máster IB]

Joan Vila Francés

Diagnóstico por la imagen [SIM – Máster IB]

Joan Vila Francés

Los inicios de la obtención de imágenes

EL 5/1/1896 se publica el descubrimiento:

"Si damos rienda suelta a nuestra fantasía perfectamente imaginamos que el nuevo proceso fotográfico que se obtiene con la ayuda del tubo de Croques hasta una parte de estructuras de tejido blando del cuerpo humano son trasparentes y una capa interna que se halle debajo de estas se podrá visualizar en la placa fotográfica, esto podría ser una ayuda inconmensurable en el diagnóstico de una innumerable cantidad de enfermedades no relacionadas directamente con las estructuras óseas"

Los inicios de la obtención de imágenes

Primer uso médico de los rayos X:

13/1/1896, Birminghan, UK:

Ratcliffe y Hall-Edwards toman una imagen impresa en bromuro de la mano de una muier que se había clavado una aquia.

El 14/1/1896 la mujer es operada por el cirujano J.H. Clayton usando dicha imagen como ayuda.

Diagnóstico por la imagen [SIM – Máster IB]

Joan Vila Francés

Diagnóstico por la imagen [SIM – Máster IB]

Joan Vila Francés

Los inicios de la obtención de imágenes



Imágenes por rayos X en la actualidad



El primer TAC



Allan MacLeod Cormack y Sir Godfrey Hounsfield

El primer TAC



EMI CAT Scanner (1972)

Diagnóstico por la imagen [SIM – Máster IB]

Joan Vila Francés

Diagnóstico por la imagen [SIM – Máster IB]

Joan Vila Francés

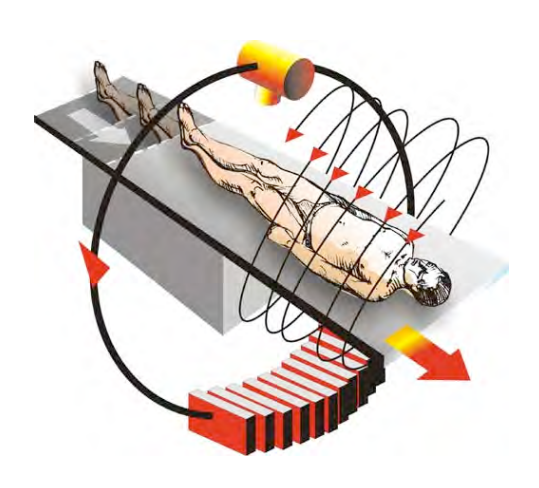
Evolución del TAC



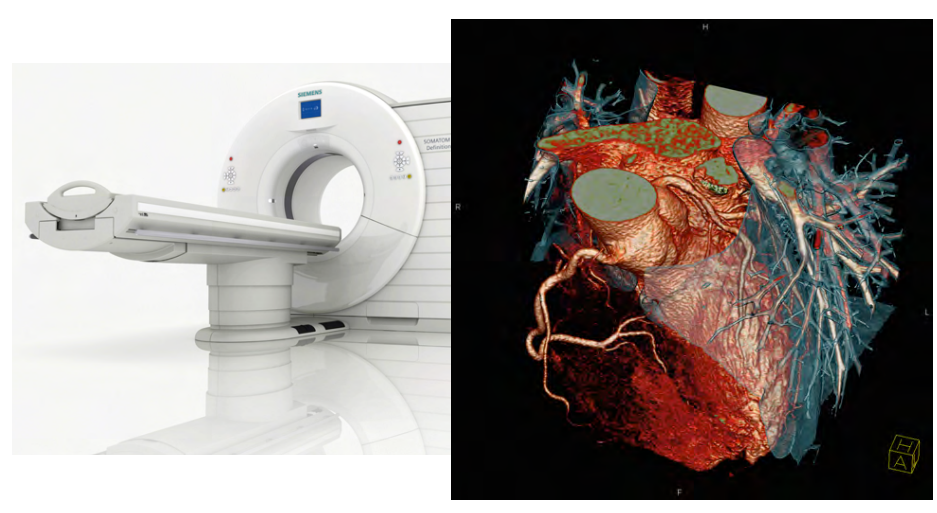


Siemens SIRETOM (1974)

Evolución del TACTAC helicoidal multicorte



Evolución del TAC



Siemens SOMATOM Definition Flash (2010)

Diagnóstico por la imagen [SIM – Máster IB]

Joan Vila Francés

Medicina nuclear

En **1934** se produce el primer radioisótopo artificial (Frédéric Joliot-Curie e Irène Joliot-Curie)

Ansell Rotblat obtiene la primera imagen de una glándula tiroides tras suministrar al paciente un radiofármaco y detectar en el exterior del paciente las emisiones gamma.

En **1957** Hal O. Anger presenta la cámara gamma, basada en un panel centelleador de INa y tubos fotomultiplicadores.

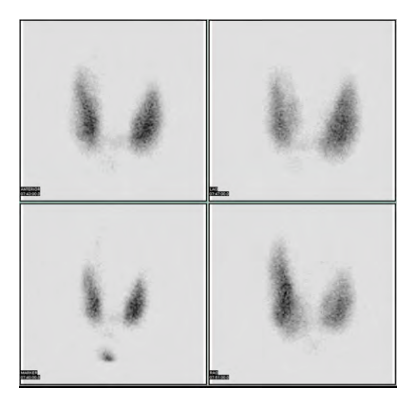
Diagnóstico por la imagen [SIM – Máster IB]

Joan Vila Francés

Medicina nuclear



cámara Gamma



imágenes de un tiroides con lodine-123

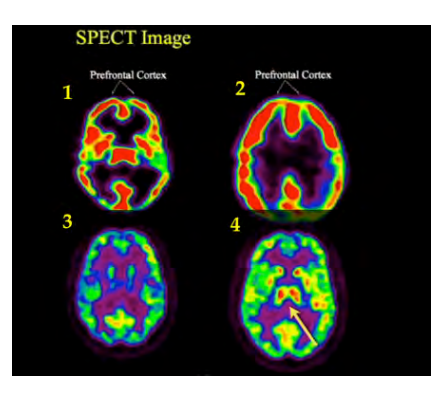
Medicina nuclear

En **1977**, empujados por la TC de RX, se introduce el SPECT. Éste hace tomografía en base a los datos que recogen simultáneamente dos o más cámaras gamma que giran alrededor del paciente. Dos años después aparecen los primeros equipos comerciales.

En los años 50 se descubre la radiación por aniquilación partícula-antipartícula. En **1961**, James Robertson crea el primer escáner PET unidimensional. En los años **70-80**, James Robertson y Z.H. Cho propusieron la estructura actual en anillo.

Medicina nuclear

Philips SPECT Skylight gamma-camera



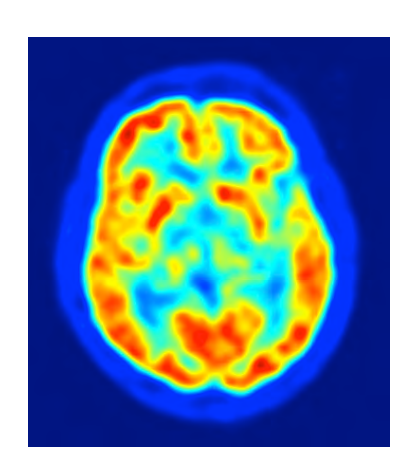
escáner SPECT del cerebro en distintos estados vitales

Diagnóstico por la imagen [SIM – Máster IB]

Joan Vila Francés

Medicina nuclear



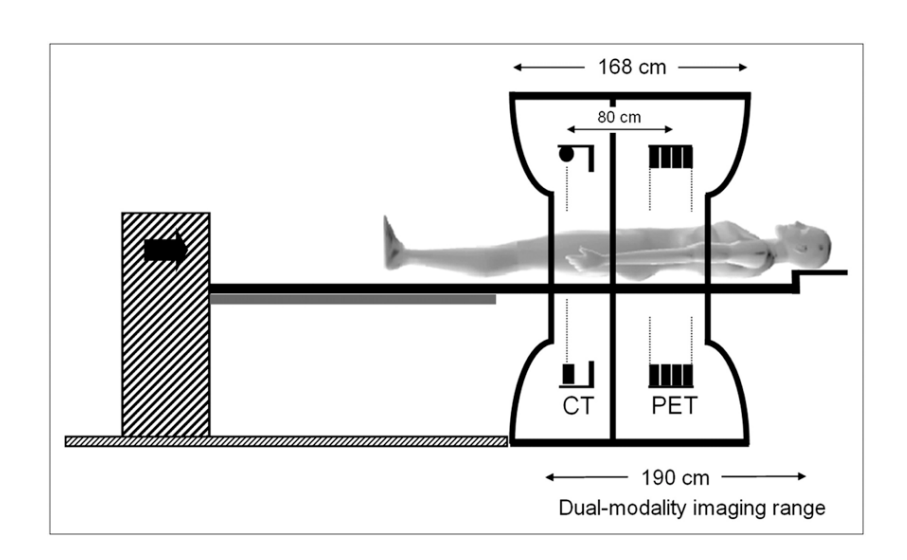


escaner PET del cerebro

Diagnóstico por la imagen [SIM – Máster IB]

Joan Vila Francés

Sistemas híbridos

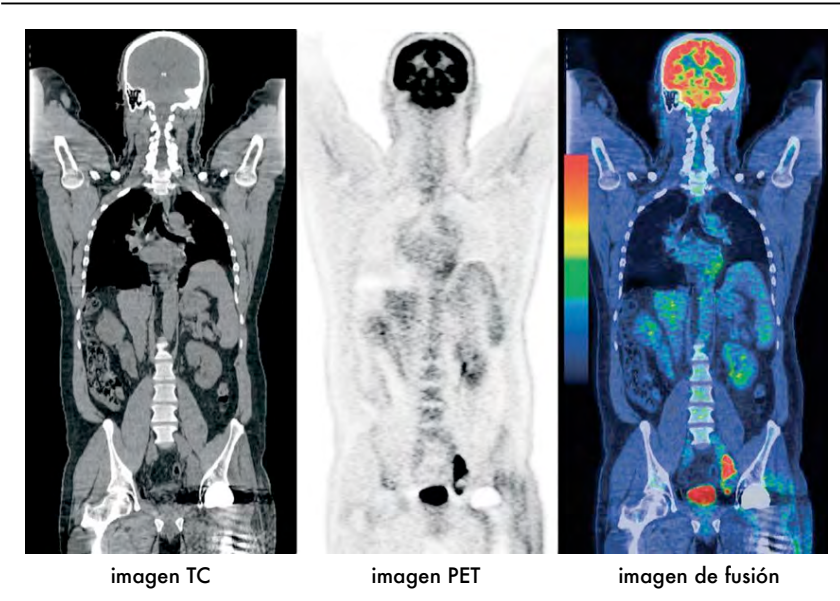


Sistemas híbridos



Discover LS PET/CT scanner (GE Medical Systems) 2001

Sistemas híbridos



Diagnóstico por la imagen [SIM – Máster IB]

Joan Vila Francés

Imagen por resonancia magnética nuclear

En **1946** Felix Bloch y Edward Purcell descubren el fenómeno de la *resonancia magnética*.

La primera imagen aparece en 1973.

En **1974** se realiza un corte transversal de un ratón vivo, y en 1973 se publican las primeras imágenes de humanos.

En **2003** se concede el Nobel de medicina a Paul C. Lauterbur y Peter Mansfield por la aplicación de la RM al diagnóstico médico.

Sistemas híbridos

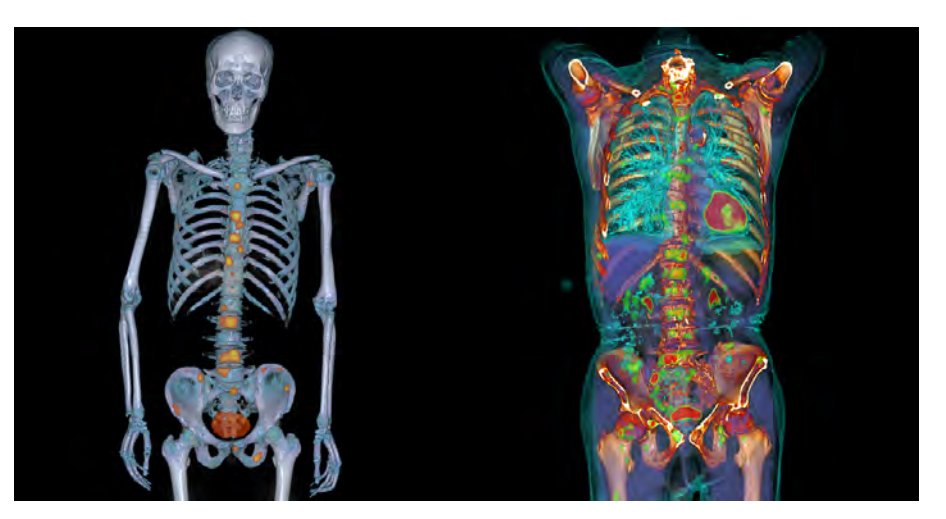


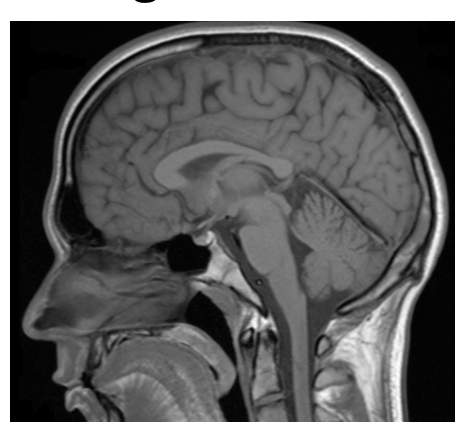
imagen de fusión CT+SPECT

imagen de fusión CT+PET

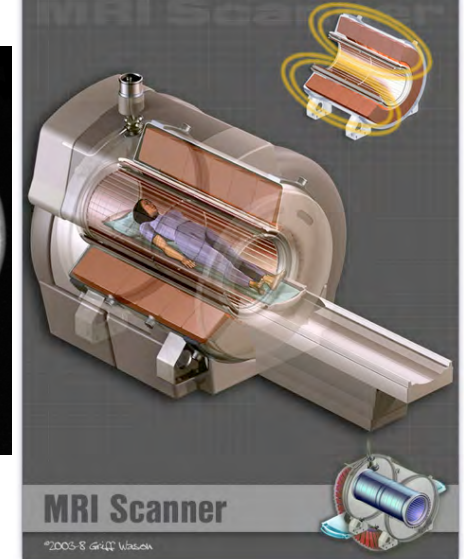
Diagnóstico por la imagen [SIM – Máster IB]

Joan Vila Francés

Imagen por resonancia magnética



escáner por RM de una cabeza humana



Diagnóstico por la imagen [SIM – Máster IB]

Joan Vila Francés

Diagnóstico por la imagen [SIM – Máster IB]

Journ vila maincé

Imagen por resonancia magnética



Diagnóstico por la imagen [SIM – Máster IB]

Joan Vila Francés

Ultrasonidos





Ultrasonidos

Tras la segunda guerra mundial y basándose en el auge de la tecnología electrónica de pulsos rápidos, la empresa **Firestone** desarrolla la técnica pulso-eco por ultrasonidos para el análisis de defectos internos en piezas metálicas.

La primera imagen bidimensional obtenida en diagnóstico médico mediante ultrasonidos es la de un mioblastoma en una pierna. La obtuvieron en **1952** Wild y Reid.

El primer prototipo comercial data de **1958** y la técnica más conocida, el estudio del feto en los embarazos, data de **1961**.

MINE

Diagnóstico por la imagen [SIM – Máster IB]

Joan Vila Francés





PACS: Picture archiving and communication system

Diagnóstico por la imagen

PACS: Picture archiving and communication system

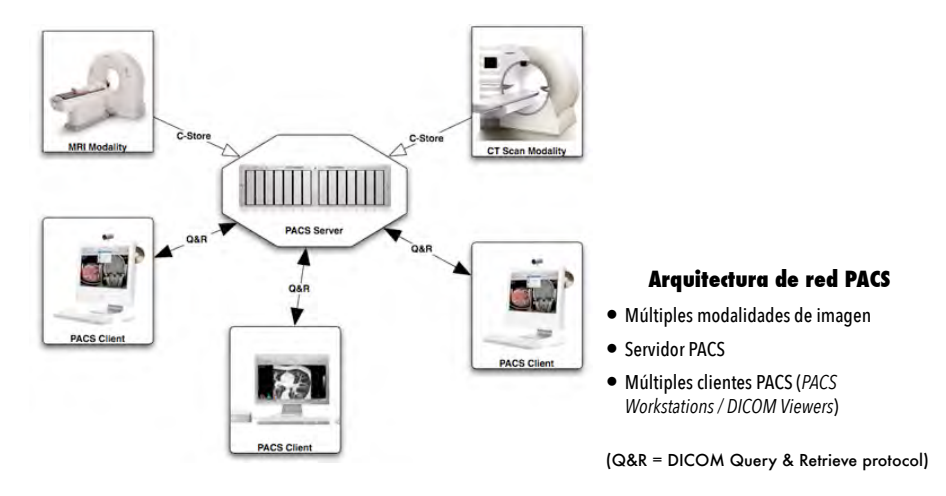
Es un conjunto de equipos informáticos dedicados al **almacenamiento** y **visualización** de imágenes médicas.

Se fundamenta en el uso del estándar **DICOM** (Digital Imaging and Communications in Medicine).

Diagnóstico por la imagen [SIM – Máster IB]

Joan Vila Francés

PACS: Picture archiving and communication system



PACS: Picture archiving and communication system

Elementos:

Módulos de adquisición de imagen (TC, RMN, MN, etc.)

Red segura de transmisión de la información del paciente

Estaciones de trabajo para la interpretación y revisión de imágenes

Sistema de archivo para el almacenaje y recuperación de las imágenes e informes

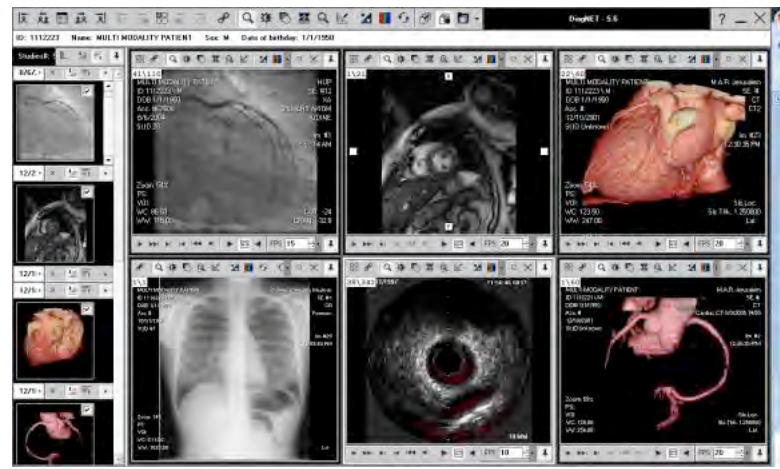
Diagnóstico por la imagen [SIM – Máster IB]

Joan Vila Francés

PACS: Picture archiving and communication system



PACS: Picture archiving and communication system



Diagnóstico por la imagen [SIM – Máster IB]

Joan Vila Francés